

# اثر توالی لرزه‌ای بر ضریب بزرگنمایی تغییر مکان ساختمان‌های فولادی دارای سیستم «قاب با ستون‌های پیوندشده»

یاسر گلستانی<sup>۱</sup>، الهام رجبی<sup>۲\*</sup>، رضا رجبی سهیلی<sup>۳</sup>

۱. دانشجوی کارشناسی ارشد، دانشکده مهندسی عمران، دانشگاه تفرش

۲. استادیار، دانشکده مهندسی عمران، دانشگاه تفرش

۳. دانشجوی کارشناسی ارشد، دانشکده مهندسی عمران، دانشگاه تفرش

\*rajabi@tafreshu.ac.ir

تاریخ پذیرش ۱۴۰۰/۱۲/۰۳

تاریخ دریافت ۱۴۰۰/۱۰/۲۲

## چکیده

سیستم قاب با ستون‌های پیوندشده (LCF)، یک سیستم باربر جانی کم و بیش جدید، از خانواده سیستم‌های دوگانه<sup>۱</sup> محسوب می‌شود؛ تازگی پیدایش این سیستم سازه‌ای، لزوم بررسی‌های متعدد لرزه‌ای را در خصوص آن، قوت بخشیده است. بدین منظور، در این مقاله به ارزیابی ضریب بزرگنمایی تغییر مکان<sup>۲</sup> ( $C_d$ )، برای سیستم LCF در برابر توالی‌های لرزه‌ای بحرانی پرداخته شده است. این ضریب، تغییر مکان‌های خطی حاصل از تحلیل‌های استاتیکی خطی را به مقادیر واقعی و غیرخطی مرتبط می‌سازد. به منظور ارزیابی ضریب ذکر شده، در این مطالعه، ۱۸ عدد قاب ساختمانی<sup>۳</sup>، ۷ و ۱۱ طبقه با سیستم باربر جانی LCF، در نرم‌افزار اپنسیس<sup>۴</sup> پیاده‌سازی می‌گردد. این قاب‌ها تحت تحلیل‌های استاتیکی خطی، دینامیکی خطی و غیرخطی قرار گرفته و ضریب  $C_d$  برای هر یک از آنها، تحت دو حالت تک‌لزلزله و متواالی، محاسبه و استخراج می‌شود. به علاوه، به منظور بررسی بهتر ضریب یادشده، اثر پارامترهای مختلفی از جمله طول، رفتار خمشی<sup>۵</sup> و رفتار بر بشی<sup>۶</sup> تیرهای پیوند بر روی ضریب  $C_d$  مورد بررسی قرار می‌گیرد. نتایج به دست آمده حاکی از افزایش اندک و نامحسوس مقادیر میانگین ضریب  $C_d$  تحت زلزله‌های متواالی، در مقایسه با زلزله‌های منفرد، برای اکثر قاب‌های مورد مطالعه می‌باشند. با این حال، این میزان افزایش، در قاب‌های کوتاه-مرتبه نسبت به قاب‌های بلند-مرتبه، دارای شدت بیشتری بوده است؛ به گونه‌ای که بیشترین افزایش ضریب  $C_d$  در معرض توالی‌های لرزه‌ای (در مقایسه با لرزه‌ی نخست از همان توالی)، مربوط به قاب ۳ طبقه (با رفتار بر بشی و طول پیوند ۲ متری) بوده و حدود ۱۱ درصد به دست آمده است. همچنین مقادیر میانگین بدست آمده برای ضریب  $C_d$  نشان می‌دهد که مقدار پیشنهادی در ادبیات فنی برای ضریب یادشده، کافی نبوده و مقادیر بزرگتری تقاضا شده است.

**واژگان کلیدی:** سیستم قاب با ستون‌های پیوندشده (LCF)، ضریب بزرگنمایی تغییر مکان ( $C_d$ )، توالی‌های لرزه‌ای بحرانی

1. Linked columns frame system
2. Dual system
3. Deflection amplification factor
4. OpenSees
5. Flexural behavior
6. Shear behavior

## ۱- مقدمه

است که مقادیر ارائه شده برای این ضرب، در آیین نامه بارگذاری آمریکا (ASCE 7) نسخه سال های ۲۰۰۵ و ۲۰۱۰ [2, 3] منطقی بوده است. یخچالیان و همکاران<sup>۶</sup> [4] ضرب بزرگنمایی تغییرمکان را برای قاب‌های مجهز به مهاربندهای کمانش تاب، به منظور تخمین حداکثر «نسبت جابه‌جایی جانبی نسبی غیراتجاعی طبقات»<sup>۷</sup> در معرض «زلزله طرح» مورد ارزیابی قرار داده و روابطی را برای محاسبه ضرب  $C_d$  پیشنهاد کردند. نتایج این مطالعه حاکی از تخمین دست‌پایین مقدار  $C_d = 5.0$  (پیشنهاد شده توسط آیین نامه ASCE 7-16 [5]) در طبقات پایین سازه‌های مورد بررسی در این مطالعه بود. کوشیلماز و تاپکایا<sup>۸</sup> [6] ضرب بزرگنمایی تغییرمکان را برای قاب‌های مهاربندی شده و اگرا، با استفاده از تحلیل‌های تاریخچه زمانی ارجاعی و غیراتجاعی، ارزیابی کرده و مقادیر این ضرب را برای طبقات مختلف سازه‌هایی با سیستم باربر جانبی یادشده، پیشنهاد نمودند. محمودی و زارع<sup>۹</sup> [7] ضرب  $C_d$  و همچنین  $C_d/R$  را برای قاب‌های مهاربندی شده همگرا (از انواع معمولی و کمانش تاب)، در معرض زلزله‌های منفرد مورد ارزیابی قرار دادند. در این ارزیابی متغیرهای مختلفی از جمله تعداد دهانه‌های مهاربندی شده، تعداد طبقات و پیکربندی‌های مختلف برای مهاربندها بررسی شد. نتایج این مطالعه نشان داده است که تعداد دهانه‌های مهاربندی شده و همچنین ارتفاع سازه‌ها تأثیر قابل توجهی بر روی ضرب بزرگنمایی تغییرمکان داشته است. سه راهی حقیقت و اشتربی<sup>۱۰</sup> [8] نیز بر مبنای روش FEMA P695 [9]، ضرایب عملکرد لرزه‌ای را برای سیستم باربر جانبی «دیاگرید<sup>۱۱</sup>»، بررسی نمودند و مقدار  $2/5$  را برای ضرب بزرگنمایی تغییرمکان این سیستم باربر جانبی ارائه کردند. همچنین ضرایب عملکرد لرزه‌ای سیستم باربر جانبی LCF FEMA پیش‌تر توسط ملکوتیان و همکاران [10] بر مبنای روش P695 محاسبه و مقدار  $5/5$  برای ضرب  $C_d$  این سیستم پیشنهاد شده است.

روش «طراحی بر مبنای نیرو»<sup>۱</sup> در راستای بهره‌مندی از مزایای متعدد تحلیل‌های خطی و به کارگیری آن‌ها در روند تحلیل سازه‌ها، پایه‌ریزی شده است. در این روش، به جای اینکه ویژگی‌های غیرخطی مصالح، به خود مصالح اختصاص یابند، در مقدار نیروی ایجاد شده در سازه (توسط زلزله)، نمود پیدا می‌کنند. با توجه به اینکه ویژگی‌های غیرخطی مصالح معمولاً باعث کاهش نیروی زلزله ایجاد شده در سازه‌ها می‌شود، معمولاً این میزان کاهش، بر مبنای بررسی‌های متعدد، تعیین، و به وسیله اعمال یک ضرب کاهشی، تحت عنوان «ضریب رفتار»<sup>۲</sup> یا «ضریب اصلاح پاسخ»، در روند محاسبه مقدار نیروی ایجاد شده در سازه توسط زلزله، در نظر گرفته می‌شود. بدین ترتیب، با در نظر گیری آثار غیرخطی مصالح در میزان نیروی زلزله ایجاد شده در سازه، استفاده از تحلیل‌های خطی ممکن می‌شود. گفتنی است که اکثر آیین نامه‌های لرزه‌ای دنیا نیز بر این مبنای تدوین شده‌اند. در همین راستا و بر مبنای مطالعه ذکرشده، تغییرمکان‌های جانبی حاصل از تحلیل‌های خطی نیز به صورت کاهش‌یافته و غیرواقعی نتیجه می‌شوند. بدین منظور لازم است که تغییرمکان‌های جانبی سازه پس از تحلیل خطی، تحت بزرگنمایی قرار گرفته تا تخمینی از مقادیر واقعی و حقیقی این تغییرمکان‌ها حاصل شود. این بزرگنمایی بیشتر به وسیله اعمال ضربی تحت عنوان ضرب بزرگنمایی تغییرمکان ( $C_d$ )، صورت می‌پذیرد. تحقیقات متعددی نیز در راستای ارزیابی ضرب  $C_d$  برای سیستم‌های باربر جانبی مختلف صورت گرفته است که منجر به پیشنهاد مقادیر مناسب‌تری برای این ضرب شده است.

به عنوان نمونه شکر و همکاران<sup>۳</sup> [1] ضرب بزرگنمایی تغییرمکان را برای قاب‌های خمشی فولادی با شکل پذیری ویژه<sup>۴</sup> در دو سطح خطر متناظر با «زلزله طرح»<sup>۵</sup> و «حداکثر زلزله در نظر گرفته شده»<sup>۶</sup> به وسیله تحلیل‌های تاریخچه زمانی و استاتیکی غیرخطی مورد ارزیابی قرار دادند؛ نتایج این تحقیق نشان داده

6. Yakhchalian et al.

7. Inelastic inter-story drift ratio

8. Kuşyılmaz and Topkaya

9. Mahmoudi and Zaree

10. Sohrabi-Haghighe and Ashtari

11. Diagrid system

1. Force-based design

2. Response modification coefficient (R)

3. Şeker et al.

4. Design earthquake (DE)

5. Maximum considered earthquake (MCE)

کردند. نتایج این مطالعه نشان داد که این سیستم توانایی های بالقوه ای را برای محدود نمودن خسارات اقتصادی، به وسیله کاهش آسیب های سازه ای را دارد. لوپز و همکاران [14] با استفاده از آزمایش هیبریدی، رفتار سیستم های LCF را ارزیابی نمودند. نتایج این پژوهش نشان داد که سازه های مورد مطالعه در تمام سطوح خطر لرزه ای، رفتار مورد انتظار را برآورده کرده اند. شعیبی و همکاران [15]، روشی با دقت بالا و در عین حال ساده، برای طراحی سیستم های باربر جانبی از نوع LCF، به شیوه «طراحی بر مبنای عملکرد»، پیشنهاد نمودند. نتایج این تحقیق نشان داد که قاب های طراحی شده با روش پیشنهادی این پژوهش، به خوبی به سطوح عملکرد پیش تر تعریف شده برای این سیستم، رسیده و الزامات مربوط به این سطوح را ارضاء نموده اند. در سال ۲۰۱۹، شعیبی و همکاران [16] روشی ساده شده برای طراحی قاب های LCF به شیوه «طراحی بر مبنای نیرو» ارائه کردند. نتایج به دست آمده حاکی از کارامدی و دقت مناسب روش پیشنهادی آنها بود؛ به طوریکه سازه های طراحی شده با روش پیشنهاد شده، به طور مناسبی به اهداف متناظر با سطوح عملکردی پیش تر ذکر شده، رسیده و آنها را ارضاء نمودند. محب خواه و تذرو [17]، میرایی ویسکوز معادل<sup>۱</sup> را برای سیستم قاب با ستون های پیوند شده مورد بررسی قرار دادند. نتایج این مطالعه نشان دادند که میرایی های ویسکوز معادل ارائه شده برای سیستم های سازه ای متداول در پیشینه پژوهش، برای به کارگیری و استفاده در سیستم های LCF با تیرهای پیوند کوتاه، بسیار محافظه کارانه هستند. عزالدین و همکاران [18] به بررسی آزمایشگاهی و عددی مربوط به مقاوم سازی لرزه ای قاب های بتن آرم هی مجهر به سیستم قاب با ستون های پیوند شده پرداختند. یافته های این تحقیق نشان داده است که مدل های آزمایشگاهی و عددی قاب های بتن آرم هی مجهر به سیستم LCF که با استفاده از معادلات پیشنهادی، مقاوم سازی شده بودند، سختی خوب، شکل پذیری بالا و اتلاف انرژی قابل توجهی داشتند.

### 3. Equivalent viscous damping

سیستم LCF یک سیستم باربر جانبی کم و بیش جدید، از خانواده سیستم های دوگانه می باشد. ویژگی متمایز این سیستم نسبت به سایر سیستم های باربر جانبی، اسکان پذیری سریع ساختمان های حاوی این سیستم باربر جانبی، پس از یک رویداد لرزه ای با سطح خطر متوسط می باشد. با این حال، قابلیت بالقوه تمرکز آسیب های سازه ای در المان های محدودی از این سیستم سازه ای، و تعویض پذیری سریع و راحت آنها، به کارگیری این سیستم برای زلزله های با سطوح خطر بالاتر را نیز ممکن ساخته است. این سیستم از ترکیب قاب(های) خمی و ستون های پیوند شده<sup>۲</sup> (به وسیله تیرهای پیوند) تشکیل می شود. تیرهای پیوند در این سیستم، کلیدی ترین و مهم ترین نقش را ایفا می نمایند؛ به گونه ای که نخستین آسیب های سازه ای ناشی از یک رویداد لرزه ای، در این اعضا پذیدار می شوند؛ این اعضا در سیستم LCF، نقش «فیوز سازه ای» را عهده دار می باشند. به طور کلی، ۳ سطح عملکردی «اسکان بی وقفه»، «تعمیر سریع» و «آستانه فروریزش» را می توان برای سیستم LCF متصور شد؛ اسکان بی وقفه، برای رویدادهای لرزه ای با سطح خطر کم، در نظر گرفته می شود و لازم است که تمامی اعضا سازه ای به صورت ارتجاعی رفتار نمایند. سطح عملکردی متناظر با «تعمیر سریع» برای رویدادهای لرزه ای با سطح خطر متوسط، پیش بینی می شود؛ در این حالت، آسیب های سازه ای فقط در تیرهای پیوند متمرکز می شوند. همچنین سطح عملکردی متناظر با «آستانه فروریزش» برای رویدادهای لرزه ای با سطح خطر شدید، در نظر گرفته می شود و خسارات سازه ای علاوه بر تیرهای پیوند، در تیرهای مربوط به قاب های خمی نیز پذیدار می شوند.

اولین تحقیقات بر روی این سیستم توسط دوسیکا و ایوای [11]، در سال ۲۰۰۷ انجام شد. به دلیل تازگی پیدایش این سیستم باربر جانبی، تحقیقات محدودی روی آن صورت گرفته که در ادامه به برخی از آنها به اختصار اشاره می شود. دوسیکا و لوئیس [12]، به صورت آزمایشگاهی، برخی از اتصالات تیر پیوند به ستون را مورد ارزیابی قرار دادند. ملکوتیان و همکاران [13]، پاسخ لرزه ای سیستم قاب با ستون های پیوند شده را مطالعه

1. Linked columns (LC)
2. Link beam

## اثر توالی لرزه‌ای بر ضرب بزرگنمایی تغییرمکان ساختمان‌های...

### یاسر گلستانی و همکاران

طراحی بر مبنای عملکرد، در معرض پس‌لرزه‌ها بودند. همچنین توزیع مفاصل پلاستیک قاب‌های طراحی شده به شیوه طراحی بر مبنای عملکرد در معرض توالی‌های لرزه‌ای، به طور مناسب‌تری در مقایسه با قاب‌های طراحی شده به روش الاستیک صورت گرفته بود. ویس‌مرادی و همکاران [23] خطر فروبریش قاب‌های مهاربندی‌شده کمانش‌تاب را تحت لرزه اصلی‌پس‌لرزه، مورد بررسی قرار دادند. نتایج این مطالعه نشان داند که جابه‌جاوی ناشی از لرزه اصلی، نقش مهمی در پاسخ سازه‌ها تحت پس‌لرزه دارد و سازه‌های حاوی جابه‌جاوی پسماند ناشی از لرزه اصلی، مستعد جابه‌جاوی‌های بزرگتر در هنگام پس‌لرزه‌ها هستند. رویزگارسیا و همکاران [24]، رفتار لرزه‌ای قاب‌های مهاربندی‌شده‌ی واگرا در معرض توالی‌های لرزه‌ای مصنوعی از نوع «باند باریک»<sup>۲</sup> و متناسب با خاک نرم را بررسی نمودند. نتایج این مطالعه حاکی از افزایش قابل توجه مقادیر حداقلر جابه‌جاوی‌های جانبی نسبی طبقات، در هنگام قرارگیری قاب مهاربندی‌شده‌ی واگرا در معرض توالی‌های لرزه‌ای حاوی پس‌لرزه‌ای باشد بالا، بودند. محسنیان و همکاران [25] عملکرد لرزه‌ای قاب‌های مهاربندی‌شده واگرای حاوی پیوندهای عمودی جذب‌کننده انرژی<sup>۳</sup> را در معرض زلزله‌های متولی ارزیابی نمودند. این مطالعه نشان داد که قاب‌های مهاربندی‌شده واگرا با پیوندهای عمودی قرارگرفته در معرض توالی‌های لرزه‌ای، به خوبی در سطوح عملکردی آئین‌نامه ایرانی طراحی ساختمان‌ها در برابر زلزله (استاندارد ۲۸۰۰ [26])، رفتار می‌نمایند.

بنابراین با توجه مطالب ذکرشده و نظر به اهمیت پدیده توالی‌های لرزه‌ای و پتانسیل آن در افزایش پاسخ سازه‌ها، ارزیابی ضرب بزرگنمایی تغییرمکان C با لحاظ نمودن توالی لرزه‌ای ضروری به نظر می‌رسد. در این راستا، این مقاله به ارزیابی این ضرب در ساختمان‌های فولادی مجهز به سیستم قاب با ستون‌های پیوندشده در معرض سناریوهای لرزه‌ای متولی بحرانی می‌پردازد.

قله‌کی و همکاران [19] به ارزیابی لرزه‌ای سیستم سازه‌ای قاب با ستون‌های پیوندشده با در نظر گرفتن اندرکنش خاک و سازه، تحت زلزله‌های حوزه دور و نزدیک به گسل پرداختند. نتایج این مطالعه حاکی از آن بودند که بیشترین جابه‌جاوی جانبی نسبی با مربوط به سازه‌های واقع بر روی خاک نوع II، تحت تأثیر زمین‌لرزه‌های حوزه‌ی دور و نزدیک به گسل، ناچیز بوده است؛ در حالی که در خاک‌های نرم (نوع IV)، مقادیر جابه‌جاوی جانبی نسبی تحت تأثیر زمین‌لرزه‌های حوزه‌ی دور و نزدیک به گسل، به میزان ۶۸۵ درصد افزایش داشته است. معروفی و همکاران [20] نیز به ارزیابی حرکت گهواره‌ای<sup>۱</sup> بر روی عملکرد لرزه‌ای سیستم قاب با ستون‌های پیوندشده، با استفاده از تحلیل دینامیکی فراینده، پرداختند.

با وجود مطالب ذکرشده، بیشتر ارزیابی‌های لرزه‌ای انجام شده بر روی سیستم LCF، تنها بر مبنای وقوع زلزله‌های منفرد صورت گرفته و تأثیر ناشی از توالی‌های لرزه‌ای مدنظر قرار نگرفته است؛ در حالی که ممکن است پس‌لرزه‌ها در مقایسه با لرزه‌ی اصلی، دارای شدت قابل توجه بوده و خسارات پیش‌بینی‌نشده فراوانی را به ارمغان بیاورند. بنابراین بررسی پس‌لرزه‌ها و آثار آن‌ها حائز اهمیت است. بدین منظور، مطالعات بسیاری در زمینه بررسی آثار توالی لرزه‌ای روی سازه‌ها صورت گرفته است؛ به عنوان نمونه، لویلس و همکاران [21] با مطالعه روی قاب‌های خمی فولادی قرارگرفته در معرض توالی‌های لرزه‌ای، متوجه افزایش پاسخ‌های سازه‌ای در مقایسه با قرارگیری قاب‌ها در معرض زلزله‌های منفرد، شدند. همچنین روابطی را به منظور تخمین تقاضاهای شکل‌پذیری، ضرب برفتار و آسیب لرزه‌ای، بر مبنای ترکیب مناسب تقاضاهای متناظر با زلزله‌های منفرد ارائه نمودند. عبدالله‌زاده و همکاران [22] قاب‌های خمی فولادی طراحی شده به دو شیوه «الاستیک» و «طراحی بر مبنای عملکرد»، را در معرض توالی‌های لرزه‌ای ارزیابی نموده و مورد مقایسه قرار دادند. نتایج این مطالعه حاکی از افزایش بیشتر جابه‌جاوی‌های جانبی نسبی طبقات در قاب‌های طراحی شده به روش الاستیک در مقایسه با قاب‌های طراحی شده به شیوه

2. Narrow-band

3. Energy-Absorbing links

1. Rocking motion

شکل ۲. سیستم قاب با ستون‌های پیوندشده حاوی یک دهانه LC

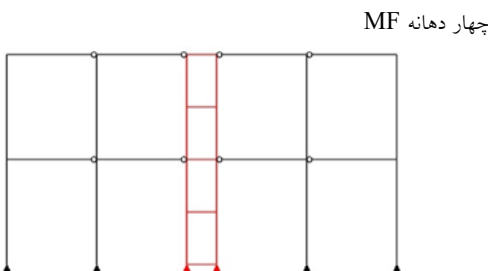


Fig. 2. Linked columns frame system consisting of 1 LC bay and 4 MF bays

شکل ۳. نمودار پوش اور ایده‌آل شده سیستم قاب با ستون‌های پیوندشده

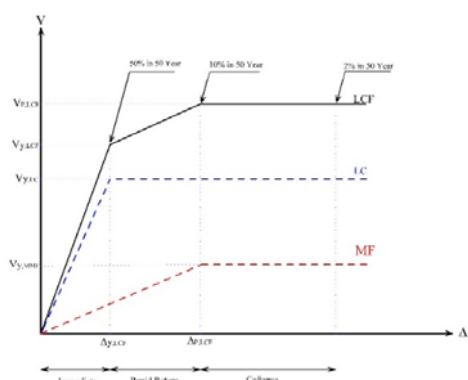


Fig. 3. Idealized LCF and component pushover curves

شکل (۳) نیز نمودارهای پوش اور ایده‌آل شده مربوط به قاب‌های خمسی (به تنهایی)، ستون‌های پیوندشده (به تنهایی) و سیستم قاب با ستون‌های پیوندشده را برای ۳ سطح عملکردی «اسکان بی‌وقفه»، «تعمیر سریع» و «آستانه فروپاش» و همچنین سطوح خطر لرزه‌ای مختلف، نشان می‌دهد.

### ۳- ضریب بزرگنمایی تغییر مکان (C<sub>d</sub>)

در این مقاله برای محاسبه ضریب بزرگنمایی تغییر مکان (C<sub>d</sub>) از روش یوانگ [27] مطابق روابط (۱ تا ۴) بهره گرفته شده است. در این روابط،  $V_y$ ، مقدار نیروی ایجاد شده در سازه (در معرض زلزله سطح طراحی) بدون در نظر گرفتن توانایی سازه برای ورود به ناحیه غیرخطی،  $V_y$ ، برش پایه تسلیم در نمودار ایده‌آل‌سازی شده پاسخ واقعی سازه،  $V_s$ ، برش پایه طراحی،  $\Delta_s$

## ۲- سیستم قاب با ستون‌های پیوندشده

سیستم قاب با ستون‌های پیوندشده یک سیستم مقاوم در برابر بارهای لرزه‌ای است که رفتار تیر پیوند آن تقریباً مشابه رفتار تیرهای پیوند در سیستم مهاربندی‌های واگرا (دارای تسلیم برشی و یا خمشی) است. شکل (۱) نمونه‌ای از یک سیستم قاب با ستون‌های پیوندشده یک‌دهانه را نشان می‌دهد. این سیستم از ترکیب دو سیستم قاب خمشی (MF) و سیستم ستون‌های پیوندشده (LC) تشکیل شده است. در واقع سیستم اصلی مقاوم در برابر بارهای جانبی، بخش مربوط به ستون‌های پیوند شده است. این ستون‌ها از طریق تیرهای پیوند قابل تعویض به یکدیگر متصل می‌شوند. تیرهای پیوند در رویدادهای لرزه‌ای متناظر با سطوح خطر متوسط، وظیفه‌ی ورود به ناحیه غیرخطی را داشته و بنابراین شکل پذیری سیستم را تامین خواهند نمود. به علاوه، سیستم سازه‌ای ثانویه، سیستم قاب خمشی است که علاوه بر مقاومت در برابر بارهای جانبی به عنوان سیستم مقاوم در برابر بارهای ثقلی نیز عمل می‌کند. با این حال، قاب‌های خمشی در رویدادهای لرزه‌ای متناظر با سطوح خطر متوسط، وارد ناحیه غیرخطی نشده و رفتاری ارتجاعی خواهند داشت. در این راستا، به منظور نیل به هدف ذکر شده (باقي ماندن قاب‌های خمشی در ناحیه ارتجاعی)، اتصال تیرها به ستون‌ها در قاب‌های خمشی، به صورت یک سر مفصل و یک سر گیردار، در نظر گرفته می‌شود. شکل (۲) تجسم بهتری را از این سیستم در اختیار می‌گذارد.

شکل ۱. تصویری شماتیک از سیستم قاب با ستون‌های پیوندشده

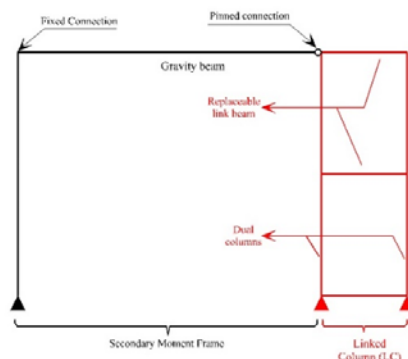


Fig. 1. Schematic view of linked columns frame system

قاب‌های مورد بررسی را در اختیار قرار می‌دهد. مطابق شکل (۴)، کلیه مدل‌ها دارای یک دهانه LC بوده و ارتفاع کلیه طبقات نیز برابر  $3/2$  متر است. اطلاعات مربوط به طول تیرهای پیوند مورد بررسی در این مطالعه در جدول شماره (۱) ارائه شده است.

جدول ۱. طول تیرهای پیوند مورد بررسی در این مطالعه

Frames	Link beams length (m)	
	Shear	Flexural
3 stories	1.25 - 1.67 - 2	2 - 2.45
7 stories	1.25 - 1.67 - 2 - 2.45	2 - 2.45
11 stories	1.67 - 2 - 2.45 - 3	2 - 2.45 - 3

Table. 1. The Link beams length investigated in this study

قابل ذکر است که در ساختمان‌های مورد مطالعه، سیستم باربر جانبی LCF فقط در محیط بیرونی پلان (و آن هم در راستای افقی) مستقر شده است؛ بنابراین سیستم باربر جانبی محیطی واقع در راستای عمود به افق، LCF نبوده و از نوع قاب خمشی متداول است. همچنین تیرها و ستون‌های داخلی، مقاومتی در برابر بارهای جانبی نداشته و اتصالات تیر به ستون آنها به صورت مفصلی در نظر گرفته شده است؛ بنابراین تیرها و ستون‌های داخلی تنها وظیفه تحمل بارهای نقلی را عهده‌دار هستند. بارهای نقلی وارد بر قاب‌های مورد مطالعه مطابق مبحث ششم مقررات ملی ساختمان، ویرایش سال ۹۲، در نظر گرفته شده است. در این راستا بار مرده طبقات و بام به ترتیب برابر با ۵۷۰ و ۶۴۰ کیلوگرم نیرو بر متر مربع ( $\text{kgf}/\text{m}^2$ )، بار زنده طبقات و بام به ترتیب برابر با ۲۰۰ و ۱۵۰ کیلوگرم نیرو بر متر مربع و بار دیوارهای پیرامونی و داخلی به ترتیب برابر با ۴۰۰ و ۱۷۵ کیلوگرم نیرو بر متر مربع فرض شده است. به منظور طراحی اولیه ساختمان‌ها برای تعیین ابعاد مقاطع سازه‌ای، محاسبه مقادیر نیروهای جانبی ناشی از زلزله بر اساس استاندارد ۲۸۰۰ ویرایش چهارم [۲۶] صورت پذیرفته است. گفتنی است که سازه‌ها با فرض استقرار در شهر تهران روی خاک نوع II، با کاربری مسکونی در نظر گرفته شده‌اند. مصالح فولادی به کاررفته در تیرها و ستونها، از نوع فولاد A992 بوده که مقاومت تسلیم و مدول الاستیسیته آن به ترتیب برابر با  $3450$  و  $10^4 * 207$  کیلوگرم نیرو بر سانتی‌متر مربع است. همچنین ضریب پواسون نیز برابر با  $0.3$  در نظر گرفته شده

تغییر مکان جانبی نسبی طراحی (تغییر مکان جانبی نسبی حاصل شده به واسطه  $V_s$ ،  $\Delta_y$ ، تغییر مکان جانبی نسبی متناظر با نقطه  $y$  (مقدار تغییر مکان جانبی نسبی ثبت شده برای سازه در لحظه‌ی تسلیم)،  $\Delta_e$ ، تغییر مکان جانبی نسبی متناظر با  $V_e$  و  $\Delta_{max}$  حداکثر تغییر مکان جانبی نسبی در حالت غیرخطی سازه است. همچنین پارامترهای  $R_\mu$ ،  $\Omega$  و  $\mu_s$  نیز به ترتیب به ضریب کاهش شکل‌پذیری، اضافه مقاومت سازه‌ای، ضریب اصلاح پاسخ و تقاضای شکل‌پذیری اشاره می‌نمایند. در این راستا و بر مبنای روابط (۱ تا ۴)، برای محاسبه ضریب  $C_d$ ، لازم است که بیشترین تغییر مکان جانبی نسبی به دست آمده از تحلیل دینامیکی غیرخطی، به بیشترین تغییر مکان جانبی نسبی به دست آمده از تحلیل استاتیکی خطی (با لحاظ کردن ضریب رفتار) تقسیم شود [۴].

$$R_\mu = \frac{V_e}{V_y} = \frac{\Delta_e}{\Delta_y}; \quad \Omega = \frac{V_y}{V_s} = R_\mu \Omega \quad (1)$$

$$\mu_s = \frac{\Delta_{max}}{\Delta_y} \quad (2)$$

$$C_d = \frac{\Delta_{max}}{\Delta_s} = \mu_s \Omega \quad (3)$$

$$\frac{C_d}{R} = \frac{\mu_s \Omega}{R_\mu \Omega} = \frac{\frac{\Delta_{max}}{\Delta_y}}{\frac{\Delta_e}{\Delta_y}} = \frac{\Delta_{max}}{\Delta_e} \quad (4)$$

نتایج مربوط به مقادیر  $C_d/R$  نیز اطلاعات مناسبی را در اختیار می‌گذارند؛ بر این اساس برای محاسبه  $C_d/R$  لازم است که حداکثر تغییر مکان جانبی نسبی حاصل از تحلیل دینامیکی غیرخطی تحت زلزله سطح طراحی، به بیشترین تغییر مکان جانبی نسبی حاصل از تحلیل دینامیکی خطی (بدون لحاظ کردن ضریب رفتار تحت زلزله سطح طراحی)، تقسیم شود [۴].

## ۴- مدل‌سازی

### ۴-۱- هندسه و بارگذاری سازه‌ها

به منظور ارزیابی‌های لرزه‌ای، ۱۸ عدد سازه‌ی ساختمانی مججهز به سیستم قاب با ستون‌های پیوندشده، با تعداد طبقات ۳، ۷ و ۱۱ (نماینده‌ای از سازه‌های کوتاه و میان-مرتبه) مورد بررسی قرار گرفته است. برای طراحی سه‌بعدی ساختمان‌های حاوی سیستم LCF، یک پلان منظم با ابعاد ۲۰ متر در ۲۰ متر در نظر گرفته شده است. شکل (۴) به صورت شماتیک پلان و نمای

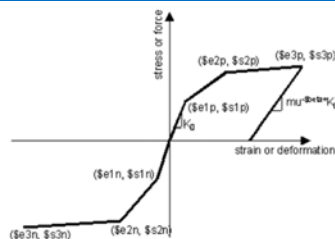


Fig. 5. Hysteretic material model in OpenSees

تشکیل و تعریف مصالح هیستریتیک برای تیرهای پیوند، بر اساس نتایج آزمایشگاهی نوع اتصال این اعضا به ستون‌های اطراف صورت گرفته است؛ بدین منظور، برای کالیبراسیون تیرهای پیوند دارای رفتار برشی، از داده‌های آزمایشگاهی نمونه‌ی S2 و برای تیرهای پیوند دارای رفتار خمشی، از نمونه‌ی LB مطالعه دوسیکا و لویس [12] استفاده شده است. برای اختصاص رفتار مناسب به تیرهای بخش مربوط به قاب‌های خمشی، از داده‌های آزمایشگاهی مطالعه‌ی سامنر و مورای [28]، مربوط به اتصال خمشی از نوع «فلنجی بدن استفاده از ورق لچکی»، بهره گرفته شده است. همچنین برای مدل‌سازی رفتار اتصالات مفصلی تیرهای بخش قاب‌های خمشی، مدل رفتاری توسعه‌یافته‌ی لیو و آستانه‌اصل [29] (بدون لحاظنمودن آثار دال سقف) مد نظر واقع گردیده است. گفتنی است که برای کالیبره کردن رفتار اتصال مفصلی یادشده، از نتایج آزمایشگاهی مربوط به مطالعات لیو و آستانه‌اصل [29, 30] بهره گرفته شده است.

شکل (۶) نمونه‌ای از نمودار چرخه‌ای برش-دوران مدل رفتاری هیستریتیک تیرهای پیوند کالیبره شده با نتایج آزمایشگاهی را برای رفتارهای برشی و خمشی، نشان می‌دهد. قابل ذکر است که برای مدل‌سازی رفتار مصالح فولادی ستون‌ها، از مدل Steel02 موجود در کتابخانه نرم‌افزار، با فرض مقدار ۲ درصد برای پارامتر سخت‌شوندگی کرنشی، استفاده شده است.

به منظور اختصاص مدل‌های رفتاری اعضای ذکر شده به المان‌های سازه‌ای، از المان‌های تیر-ستون غیرخطی<sup>۳</sup> با پلاستیسیته گسترده (روش مدل‌سازی فایبر<sup>۱</sup>) استفاده شده است.

است. در طراحی اولیه سیستم LCF از روش پیشنهادی ملکوتیان و همکاران [13] بهره گرفته شده است. قابل ذکر است که در این مرحله از طراحی، از مقادیر پیشنهادی ملکوتیان و همکاران [10] برای ضرایب عملکرد لرزه‌ای، استفاده شده است. در این راستا، با توجه به زیاد بودن تعداد سازه‌های مورد بررسی، به عنوان نمونه مقاطع یکی از قاب‌های دارای تیر پیوند برشی ۲ متری در جدول (۲) ارائه شده است.

شکل ۴. تصویر شماتیک مربوط به پلان و نمای ساختمان‌های دارای سیستم قاب با ستون‌های پیوندشده مورد بررسی

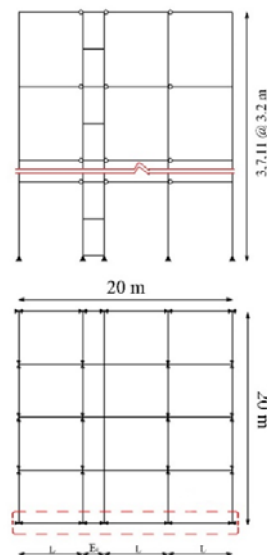


Fig. 4. Schematic view of studied frames with LCF system: plan and elevation

#### ۴-۲- مدل‌سازی غیرخطی

به منظور مدل‌سازی و انجام تحلیل‌های دینامیکی تاریخچه زمانی غیرخطی، از نرم‌افزار OpenSees بهره گرفته شده است. بدین منظور، رفتار مصالح فولادی تیرهای پیوند و تیرهای مربوط به بخش قاب‌های خمشی و اتصالات مفصلی آن، با استفاده از مدل مصالح هیستریتیک<sup>۱</sup> چند خطی نمایش داده شده در شکل (۵)، مدل‌سازی شده است.

شکل ۵. مدل مصالح هیستریتیک در نرم‌افزار OpenSees

2. Bolted unstiffened extended end-plate (BUEEP) moment connections

3. element nonlinearBeamColumn

1. uniaxialMaterial Hysteretic

انجام تحلیل‌های دینامیکی، بهره گرفته شده است. در این راستا، به منظور انتخاب شتاب‌نگاشت‌های بحرانی، پارامتر بیشینه شتاب مؤثر زلزله (EPA<sup>3</sup>) مدنظر واقع شده است؛ این پارامتر در مطالعه قادری امیری و منوچهری دانا [31] در سال ۲۰۰۵ به عنوان «مناسب‌ترین پارامتر برای انتخاب شتاب‌نگاشت‌های بحرانی» معرفی شد. مقدار این پارامتر برابر با متوسطِ مقدار شتاب طیفی زلزله، در محدوده زمان تناوب ۰.۱ تا ۰.۵ ثانیه، تقسیم بر ضرب بزرگنمایی استاندارد (یعنی ۲.۵) است. بر این اساس، از میان توالی‌های لرزه‌ای بحرانی معرفی شده توسط قدرتی امیری و رجبی [32]، ۵۵ توالی لرزه‌ای برای اعمال به قاب‌های مدل‌شده، انتخاب و در جدول شماره (۴) موجود در پیوست ارائه شده‌اند. قابل ذکر است که این شتاب‌نگاشت‌ها، از پایگاه اطلاعاتی Peer استخراج شده‌اند؛ همچنین لرزه‌های اول و دوم در یک ایستگاه و در راستای مشابه ثبت شده‌اند. با توجه به اینکه زمان واقعی ثبت‌شده میان لرزه‌های نخست و دوم در حالت کلی زیاد می‌باشد، عملاً امکان تحلیل دینامیکی مدل‌ها برای شتاب‌نگاشت‌های حاوی توالی با فاصله زمانی<sup>4</sup> واقعی به ثبت رسیده میان لرزه‌ی نخست و دوم وجود نخواهد داشت. بنابراین، بیشتر به جای در نظرگیری فواصل زمانی واقعی ثبت‌شده میان دو لرزه متولی، از فواصل زمانی کوتاه‌تری (با شتاب صفر) بهره گرفته می‌شود.

گفتنی است که به منظور انجام ارزیابی‌های لرزه‌ای، یکی از قاب‌های LCF واقع در محیط پیرامونی پلان، که در شکل (۴) با خط‌چین مشخص گردیده، به صورت دو بعدی مدنظر قرار گرفته است. چنین عملی به وفور در پیشینه‌ی پژوهش مورد استفاده قرار گرفته و در صورت ارضاء شرایطی از جمله منظم‌بودن پلان، مجاز است. در واقع چنین تکنیکی به منظور کاهش قابل توجه هزینه‌های محاسباتی مورد استفاده واقع می‌شود. چشممه‌های اتصال تیر به ستون در تمام گره‌ها به صورت صلب فرض شده و آثار ثانویه P-Δ نیز به طور کامل لحاظ شده است. قابل ذکر است که به منظور در نظرگیری آثار ثانویه P-Δ ناشی از سیستم باربر تقلیلی، از ایده‌ی «ستون متکی» در مدل‌سازی دو بعدی بهره گرفته شده است. بدین ترتیب، بارهای تقلیلی روی قاب، در محل واقعی خود و بقیه بارهای تقلیلی، شامل بارهای تقلیلی نیمی از پلان سازه (در جهت خرپایی (با اتصالات مفصلی) صورت گرفته است.

برای اطمینان از درستی عملکرد مدل‌سازی قاب‌های حاوی سیستم قاب با ستون‌های پیوندشده، یکی از قاب‌های ارائه شده توسط شعبی و همکاران [16] مورد مدل‌سازی مجلد قرار گرفته و نتایج مربوط به نمودارهای پوش‌اور به دست آمده از مدل‌سازی و مدل مرجع مقایسه شده و در شکل (۷) به نمایش گذاشته شده است.

## ۵- سناریوهای حاوی توالی لرزه‌ای

در حالت کلی، شتاب‌نگاشت‌های حاوی توالی، یا به صورت واقعی و یا به صورت مصنوعی در معرض استفاده قرار می‌گیرند؛ با این حال، توالی‌های ساخته شده به صورت مصنوعی دارای دقت کافی نبوده و در مواردی، موجب نتایج دست‌بالا و غیرقابل اطمینانی می‌شوند. بر این اساس، در این مطالعه از توالی‌های لرزه‌ای به وقوع پیوسته‌ی واقعی، به منظور

3. Effective Peak Acceleration  
4. Time gap or time interval

1. Fiber  
2. Leaning column

جدول ۳. مقاطع قاب‌های ۷، ۱۱ و ۱۳ طبقه حاوی تیرهای پیوند با طول ۲ متری (عملکرد برشی)

Frames	Story No.	Linked column system (LC)			Moment frame system (MF)		
		Story link	Mid-story Link	Column	Exterior column	Interior column	Beam
3 stories	1	I 40 × 1-27.5 × 2	I 40 × 1-27.5 × 2	W14 × 109	W14 × 38	W14 × 38	W12 × 50
	2	I 35 × 1-28 × 2	I 35 × 1-28 × 2	W14 × 109	W14 × 38	W14 × 38	W12 × 50
	3	I 30 × 1-27.5 × 2	I 30 × 1-27.5 × 2	W14 × 109	W14 × 38	W14 × 38	W12 × 50
7 stories	1	I 70 × 1.2-25 × 2	I 70 × 1.5-22.5 × 2.5	W14 × 370	W14 × 82	W14 × 109	W12 × 96
	2	I 65 × 1-25 × 2	I 67.5 × 1.2-25 × 2	W14 × 370	W14 × 82	W14 × 109	W12 × 96
	3	I 55 × 1.2-27.5 × 2	I 60 × 1.2-27.5 × 2	W14 × 233	W14 × 74	W14 × 82	W12 × 106
	4	I 50 × 1.2-27 × 2	I 50 × 1.2-27 × 2	W14 × 233	W14 × 74	W14 × 82	W12 × 106
	5	I 44 × 1-24 × 2	I 44 × 1-24 × 2	W14 × 132	W14 × 68	W14 × 82	W12 × 136
	6	I 38 × 1-25 × 2	I 38 × 1-25 × 2	W14 × 132	W14 × 68	W14 × 74	W12 × 136
	7	I 30 × 1-27.5 × 2	I 30 × 1-27.5 × 2	W14 × 82	W14 × 61	W14 × 74	W12 × 72
11 stories	1	I 70 × 1.2-27.5 × 2	I 77 × 1.5-27.5 × 2	W14 × 730	W14 × 145	W14 × 176	W12 × 106
	2	I 65 × 1.2-27.5 × 2	I 65 × 1.2-27.5 × 2	W14 × 730	W14 × 145	W14 × 176	W12 × 136
	3	I 60 × 1.5-27.5 × 2	I 54 × 1.2-27.5 × 2	W14 × 605	W14 × 145	W14 × 176	W12 × 136
	4	I 58 × 1.2-27.5 × 2	I 50 × 1-27.5 × 2	W14 × 605	W14 × 132	W14 × 159	W12 × 152
	5	I 54 × 1.2-27.5 × 2	I 50 × 1-27.5 × 2	W14 × 500	W14 × 132	W14 × 159	W12 × 152
	6	I 50 × 1-27.5 × 2	I 46 × 1-27.5 × 2	W14 × 455	W14 × 120	W14 × 159	W12 × 152
	7	I 46 × 1-27.5 × 2	I 46 × 1-27.5 × 2	W14 × 398	W14 × 120	W14 × 145	W12 × 190
	8	I 38 × 1-27.5 × 2	I 32 × 1-27 × 2	W14 × 257	W14 × 109	W14 × 145	W12 × 190
	9	I 32 × 1-27 × 2	I 32 × 1-27 × 2	W14 × 176	W14 × 109	W14 × 120	W12 × 136
	10	I 30 × 1-27.5 × 2	I 30 × 1-27.5 × 2	W14 × 132	W14 × 109	W14 × 109	W12 × 106
	11	I 30 × 1-27.5 × 2	I 30 × 1-27.5 × 2	W14 × 82	W14 × 82	W14 × 109	W12 × 96

Table 3. Sections for 3, 7 and 11 stories with a length of 2.0 m (shear behavior)

شکل ۶. مقایسه نتایج آزمایشگاهی با مدل‌های عددی کالیبره شده در OpenSees؛ a) تیر پیوند با رفتار خمی؛ b) تیر پیوند با رفتار برشی

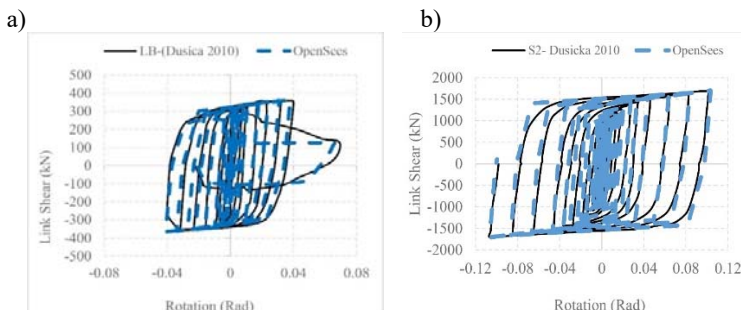


Fig. 6. Comparison of experimental and numerical calibration in OpenSees; a) Flexural link; b) Shear link

شکل ۷. مقایسه بین نمودارهای پوش آور قاب ارائه شده توسط شعبی و همکاران [16] و مدل پیاده‌سازی شده

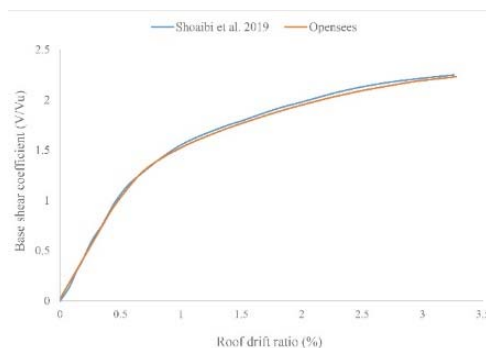


Fig. 7. Comparison between pushover curves for the studied frame by Shoaibi et al. [16] and the implemented model

می‌خورد. در توجیه عدم افزایش قابل توجه مقادیر میانگین ضریب  $C_d$ ، می‌توان گفت که در بیشتر موارد، پس لرزه‌هایی با شدتی کمتر از لرزه‌ی نخست، معمولاً بیشترین جابه‌جایی جانبی نسبی یا نسبت جابه‌جایی جانبی نسبی طبقات و یا حتی بام را در مقایسه با لرزه‌ی نخست متوجه تغییر نمی‌کنند. این موضوع در شکل شماره (۱۱) به وضوح قابل مشاهده است.

## ۷- نتایج

در این مقاله، به منظور ارزیابی ضریب بزرگنمایی تغییرمکان ( $C_d$ )، تعدادی سازه ساختمانی فولادی مجهز به سیستم قاب با ستون‌های پیوندشده، با تعداد طبقات ۳، ۷ و ۱۱، براساس استاندارد ۲۸۰۰ - ویرایش چهارم - به صورت سه بعدی طراحی و سپس به صورت دو بعدی، در نرم‌افزار اپنسیس پیاده‌سازی شده است. در ادامه، قاب‌های دو بعدی ذکر شده، تحت تحلیل‌های استاتیکی خطی و در برابر مجموعه‌ای از زلزله‌های منفرد و متوالی بحرانی در معرض تحلیل‌های دینامیکی خطی و غیرخطی قرار گرفته‌اند. در انتها، حداقل نسبت جابه‌جایی جانبی نسبی بام و طبقات برای هر یک از این تحلیل‌ها استخراج شده و پس از محاسبه ضریب  $C_d$  و  $C_d/R$  مشخص شده است که ضریب بزرگنمایی تغییرمکان سیستم قاب با ستون‌های پیوندشده در معرض زلزله‌های متوالی، به میزان اندکی افزایش یافته است. افزایش این ضریب در قاب‌های کوتاه-مرتبه در مقایسه با قاب‌های بلند-مرتبه، بیشتر بوده است. همچنین در حالتی که طول تیر پیوند برای رفتار برشی و خمی مقدار یکسانی داشته است، مقدار  $C_d$  در حالت رفتار خمی در مقایسه با رفتار برشی (در حالت نسبت تغییرمکانِ جانبی نسبی بام و طبقات) به طور کالی بیشتر بوده است. مقایسه نتایج در حالت کلی حاکی از آن است که افزایش طول تیر پیوند در هر دو حالت رفتار برشی و خمی باعث افزایش این ضریب می‌شود. همچنین می‌توان نتیجه گرفت که در پروسه طراحی لرزه‌ای سازه‌ها، به دلیل عدم تغییرات قابل توجه مقادیر ضریب بزرگنمایی تغییرمکان در حالت توالی در مقایسه با زلزله‌ی منفرد، می‌توان از اثرات توالی لرزه‌ای بر روی این ضریب چشم پوشی نمود.

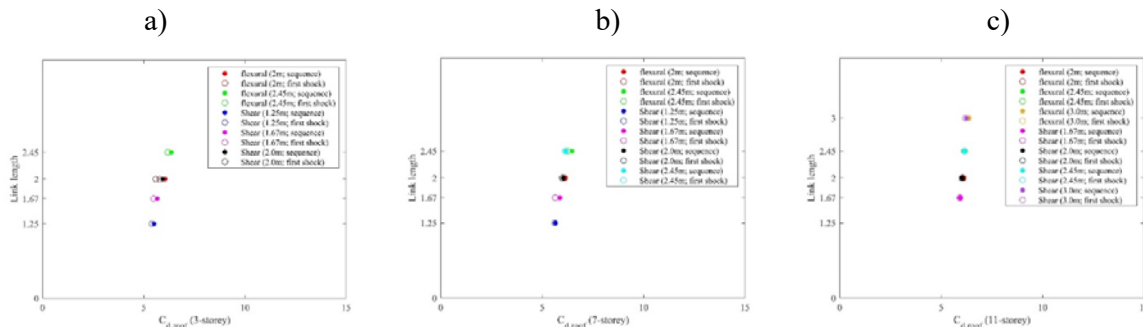
بدین منظور، در این مطالعه، مشابه لوکلیس و همکاران<sup>۱</sup> [۲۱]، یک فاصله زمانی ۱۰۰ ثانیه‌ای با شتاب صفر، بین لرزه نخست و لرزه دوم، انتخاب و مد نظر قرار گرفته است. همچنین به منظور مقایس کردن لرزه‌های نخست شتاب‌نگاشتهای حاوی توالی به سطح خطر مورد نظر آین نامه (زلزله‌ی سطح طراحی) از روش ارائه شده در ویرایش چهارم استاندارد ۲۸۰۰ بهره گرفته شده است.

## ۶- ارزیابی ضریب $C_d$ و $C_d/R$

مطابق مطالب ذکر شده در بخش ۳، به منظور محاسبه ضریب بزرگنمایی تغییرمکان و همچنین  $C_d/R$ ، تمامی مدل‌ها علاوه بر قرارگیری در معرض تحلیل استاتیکی خطی، در معرض توالی‌های لرزه‌ای معرفی شده در جدول (۴) قرار گرفته و تحت تحلیل‌های دینامیکی خطی و غیرخطی واقع شده‌اند و در انتها نیز ضریب  $C_d$  و  $C_d/R$  برای هر یک از آنها استخراج شده است. در این راستا، به منظور بررسی آثار توالی لرزه‌ای روی ضریب  $C_d$  و  $C_d/R$ ، تمامی مدل‌ها علاوه بر قرارگیری در معرض توالی لرزه‌ای، یک بار نیز فقط در معرض لرزه‌های نخست از هر توالی (زلزله‌های منفرد) قرار گرفته و ضریب  $C_d$  دوباره محاسبه شده است.

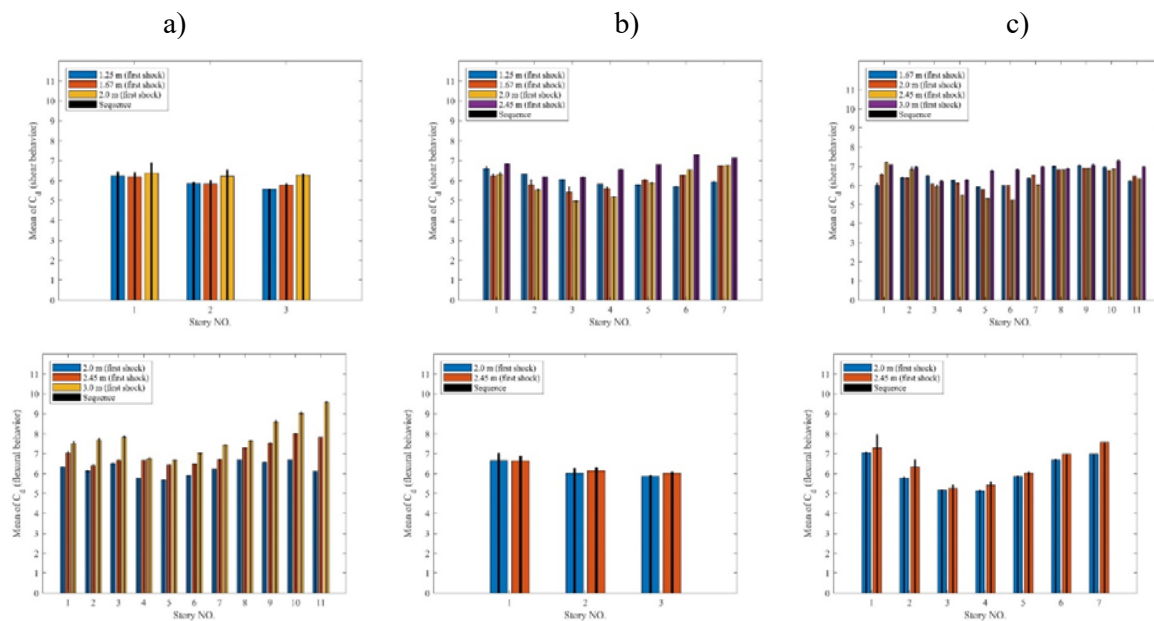
بدین ترتیب، مقادیر میانگین ضرایب بزرگنمایی تغییرمکان و  $C_d/R$ ، برای کلیه قاب‌های ۳، ۷ و ۱۱ طبقه‌ی LCF در معرض سناریوهای لرزه‌ای با و بدون توالی لرزه‌ای استخراج شده و در شکل‌های (۸ تا ۱۰) نشان داده شده است. همچنین این نتایج به صورت خلاصه در جدول (۵) و جدولی در پیوست (جدول مربوط به نتایج  $C_d/R$ ) به دلیل محدودیت تعداد صفحه‌ی گزارش شده است. در این راستا، نتایج برای طول‌های مختلف تیرهای پیوند، در حالات عملکرد برشی و خمی، و همچنین نسبت تغییرمکانِ جانبی نسبی طبقات و بام تقسیم-بندی شده‌اند. همان‌گونه که در شکل‌های (۸ و ۹) مشخص است، وجود لرزه‌ی دوم موجب افزایش اندک و نامحسوسی در مقادیر میانگین ضریب بزرگنمایی تغییرمکان شده است. با این حال این افزایش در قاب‌های کوتاه-مرتبه بیشتر به چشم

شکل ۸ متوسط مقادیر مربوط به  $C_d$  بر مبنای نسبت تغییرمکان جانبی نسبی با طول پیوندهای مختلف برای رفتارهای برشی و خمشی در معرض زلزله‌های منفرد و متوالی بحرانی؛ (a) قاب ۳ طبقه؛ (b) ۷ طبقه؛ (c) قاب ۱۱ طبقه



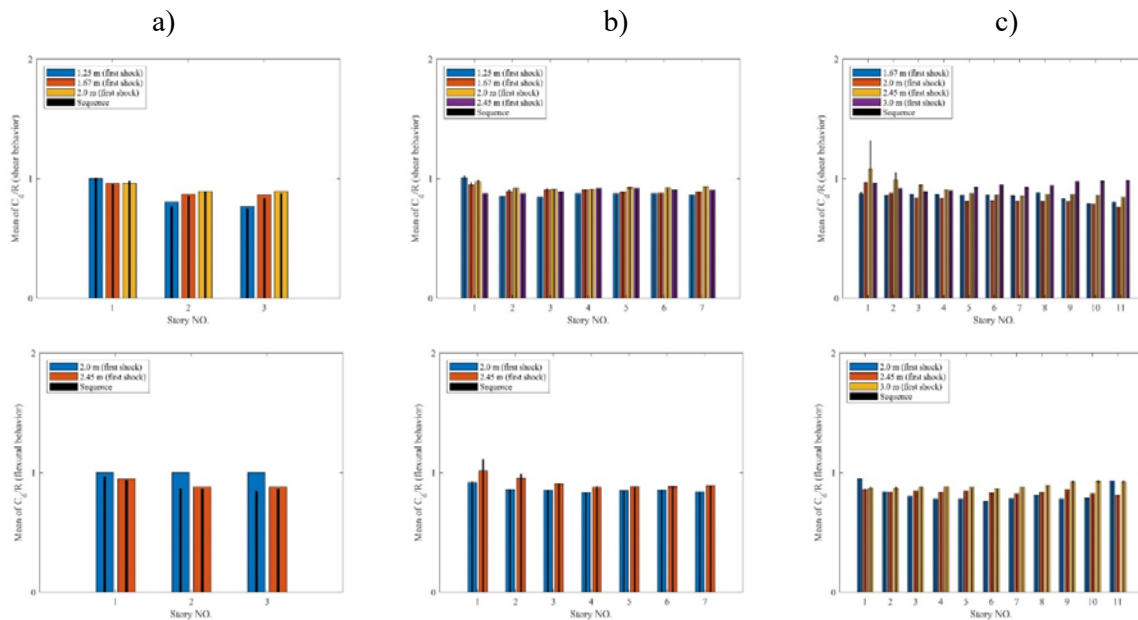
**Fig. 8.** متوسط مقادیر مربوط به  $C_d$  بر مبنای نسبت تغییرمکان جانبی نسبی طبقات با طول پیوندهای مختلف برای رفتارهای برشی و خمشی در معرض زلزله منفرد و متوالی بحرانی؛ (a) قاب ۳ طبقه؛ (b) ۷ طبقه؛ (c) قاب ۱۱ طبقه

شکل ۹. متوسط مقادیر مربوط به  $C_d$  بر مبنای نسبت تغییرمکان جانبی نسبی طبقات با طول پیوندهای مختلف برای رفتارهای برشی و خمشی در معرض زلزله‌های منفرد و متوالی بحرانی؛ (a) قاب ۳ طبقه؛ (b) ۷ طبقه؛ (c) قاب ۱۱ طبقه



**Fig. 9.** متوسط مقادیر مربوط به  $C_d$  بر مبنای نسبت تغییرمکان جانبی نسبی طبقات با طول پیوندهای مختلف برای رفتارهای برشی و خمشی در معرض زلزله منفرد و متوالی بحرانی؛ (a) قاب ۳ طبقه؛ (b) ۷ طبقه؛ (c) قاب ۱۱ طبقه

شکل ۱۰. متوسط مقادیر مربوط به  $C_d/R$ ، بر مبنای نسبت تغییر مکان جانبی نسبی طبقات با طول پیوندهای مختلف برای رفتارهای برشی و خمشی در معرض زمین لرزه‌های منفرد و متوالی بحرانی؛ (a) قاب ۳ طبقه؛ (b) ۷ طبقه؛ (c) قاب ۱۱ طبقه



**Fig. 10.** Mean values of  $C_d/R$ , based on the inter-story drift ratio with different link lengths with shear and flexural behavior under critical single and successive earthquakes; a) 3 stories; b) 7 stories; c) 11 stories

جدول ۵. خلاصه‌ای از نتایج مربوط به  $C_d$  برای سیستم قاب با ستون‌های پیوندشده در معرض زلزله‌های منفرد و متوالی بحرانی

Frames	Linked length (m)	Performance (shear or flexural)	C <sub>d</sub> For linked column frame system					
			Based on inter-story drift ratio		Based on roof drift ratio		Mean values	
			Mean values per story first shock	Seismic sequences	first shock	Seismic sequences	first shock	Seismic sequences
3 stories	1.25	shear	6.23-5.85-5.57	6.45-5.93-5.57	6.23	6.45	5.39	5.5
	1.67	shear	6.19-5.83-5.87	6.41-6.0-5.85	6.19	6.41	5.48	5.66
	2	shear	6.39-6.22-6.26	6.89-6.54-6.34	6.39	6.89	5.59	5.92
	2	flexural	6.65-6.02-5.87	7.03-6.25-5.93	6.65	7.03	5.77	6.05
	2.45	flexural	6.69-6.15-6.02	6.99-6.3-6.08	6.69	6.99	6.18	6.35
7 stories	1.25	shear	6.61-6.23-6.06-5.82-5.81-5.71-5.95	6.7-6.33-6.07-5.84-5.82-5.72-5.96	6.61	6.7	5.61	5.64
	1.67	shear	6.21-5.79-5.41-5.6-6.04-6.26-6.74	6.35-6.05-5.68-5.67-6.06-6.28-6.79	6.74	6.79	5.64	5.86
	2	shear	6.31-5.53-5.08-5.16-5.9-6.54-6.77	6.42-5.57-5.15-5.21-5.93-6.55-6.78	6.77	6.78	5.99	6.03
	2	flexural	7.06-5.78-5.16-5.13-5.85-6.69-6.99	7.1-5.83-5.21-5.17-5.9-6.72-6.99	7.06	7.1	6.09	6.14
	2.45	shear	6.82-6.18-6.17-6.55-6.8-7.3-7.14	6.85-6.2-6.2-6.56-6.8-7.3-7.14	7.3	7.3	6.12	6.15
	2.45	flexural	7.29-7.29-5.26-5.42-6.03-6.98-7.58	7.95-7.32-5.43-5.85-6.09-6.99-7.58	7.58	7.95	6.25	6.47
11 stories	1.67	shear	5.99-6.4-6.49-6.28-5.92-5.98-6.37-6.91-6.94-6.95-6.22	6.13-6.44-6.51-6.28-5.92-5.99-6.39-6.99-6.99-6.98-6.24	6.95	6.99	5.91	5.93
	2	shear	6.55-6.4-6.07-6.14-5.77-5.99-6.54-6.83-6.93-6.8-6.47	6.64-6.43-6.09-6.15-5.77-5.99-6.55-6.84-6.99-6.8-6.47	6.93	6.99	5.99	6.02
	2	flexural	6.33-6.13-6.53-5.77-5.66-5.9-6.22-6.88-6.56-6.69-6.12	6.36-6.16-6.55-5.78-5.68-5.91-6.28-6.97-6.57-6.69-6.12	6.88	6.97	6.08	6.1
	2.45	shear	7.02-6.81-5.92-5.46-5.34-5.31-6.05-6.82-6.91-	7.28-6.99-6.06-5.51-5.4-5.38-6.07-6.82-6.91-6.88-6.36	7.02	7.28	6.12	6.16

			6.87-6.35					
2.45	flexural	7.08-6.74-6.67- 6.67-6.67-6.45- 6.48-6.7-7.3-7.53- 8.0-8.12	7.12-6.45-6.69- 6.67-6.45-6.5-6.71- 7.31-7.56-8.02-8.13	8.12	8.13	6.13	6.16	
		7.07-6.95-6.23- 6.29-6.77-6.82- 6.97-6.88-7.07- 7.29-6.96	7.09-7.0-6.27-6.32- 6.82-6.86-7.01- 6.93-7.12-7.36-7.1	7.29	7.36	6.18	6.23	
	shear	7.52-7.69-7.82- 6.75-6.66-7.04- 7.43-7.65-8.59- 9.03-9.57	7.62-7.8-7.9-6.79- 6.68-7.05-7.45- 7.69-8.67-9.1-9.64	9.57	9.64	6.33	6.36	

Table. 5.  $C_d$  results for linked column frame system under critical single and successive earthquakes

● با توجه به مقادیر ارائه شده در جمع‌بندی نتایج، مقدار پیشنهادی این ضریب در پیشینه پژوهش این سیستم، (یعنی برای هیچ کدام از قاب‌ها مناسب و کافی نمی‌باشد).

● با توجه به نتیجه قبل و بر اساس متوسط نتایج حاصل از زلزله‌های متواتی، مقدار  $C_d = 6/5$  پیشنهاد می‌شود.

شكل ۱۱. نمودار تاریخچه‌ی زمانی مربوط به نسبت جابه‌جایی جانبی نسبی طبقه‌ی اول قاب ۷ طبقه حاوی تیر پیوند با طول ۲.۴۵ متر (از نوع عملکرد برخی) قرارگرفته در معرض یکی از توالی‌های لرزه‌ای در نظر گرفته شده

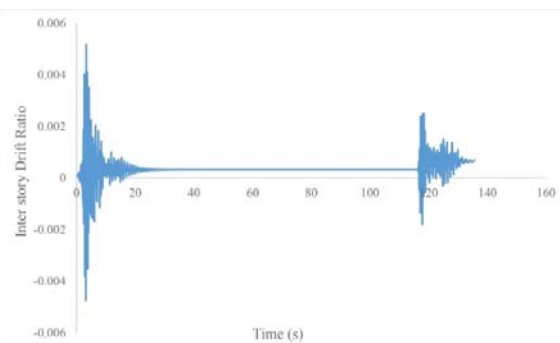


Fig. 11. Time history diagram related to the inter-story drift ratio of the first story of a 7-story frame with a link beam with a length of 2.45 m (shear behavior) exposed to one of the considered seismic sequences

## تعارض منافع

نویسنده‌گان اعلام می‌کنند که هیچ نوع تعارض منافعی وجود ندارد.

## مراجع

- [1] O. Şeker, B. Akbas, J. Shen, and A. Zafer Ozturk, "Evaluation of deflection amplification factor in steel moment-resisting frames," *The Structural Design of Tall and Special Buildings*, vol. 23, no. 12, pp. 897-928, 2014, doi: <https://doi.org/10.1002/tal.1090>.
- [2] ASCE7, *Minimum Design Loads for Buildings and Other Structures*, ASCE 7-05. Virginia, U.S.A.: American Society of Civil Engineers, 2005.
- [3] ASCE7, *Minimum Design Loads for Buildings and Other Structures*, ASCE 7-10. Virginia, U.S.A.: American Society of Civil Engineers, 2010.
- [4] M. Yakhchalian, N. Asgarkhani, and M. Yakhchalian, "Evaluation of deflection amplification factor for steel buckling restrained braced frames," *Journal of Building Engineering*, vol. 30, p. 101228, 2020/07/01/

همچنین دیگر نتایج این مطالعه به شرح زیر می‌باشند:

● مقادیر  $C_d$ ، در ارتفاع سازه ثابت نبوده و برای هر طبقه، مقداری متفاوت به ثبت رسیده است. از این رو، لحاظنمودن یک مقدار ثابت برای این ضریب، گاهی منجر به تخمین غیرواقع‌گرایانه نتایج می‌شود.

● در تمامی قاب‌ها، مقادیر میانگین  $C_d$  به دست آمده بر مبنای نسبت تغییرمکان جانبی نسبی بام، کمتر از پیشینه مقادیر میانگین به دست آمده بر مبنای نسبت تغییرمکان جانبی نسبی طبقات مختلف حاصل شده است.

● مقادیر  $C_d$  با افزایش طول پیوند در اکثر موارد، بیشتر شده است. به گونه‌ای که بیشترین میزان افزایش این ضریب به ۱۱ درصد می‌رسد.

- of Tenth US National Conference on Earthquake Engineering, Anchorage, Alaska, 2014.
- [15] S. Shoeibi, M. A. Kafi, and M. Gholhaki, "Performance-Based Seismic Design and Parametric Assessment of Linked Column Frame System," *Periodica Polytechnica Civil Engineering*, vol. 62, no. 3, pp. 555-569, 01/01 2018, doi: 10.3311/PPci.10920.
- [16] S. Shoeibi, M. Gholhaki, and M. A. Kafi, "Simplified force-based seismic design procedure for linked column frame system," *Soil Dynamics and Earthquake Engineering*, vol. 121, pp. 87-101, 2019/06/01/ 2019, doi: <https://doi.org/10.1016/j.soildyn.2019.03.003>.
- [17] A. Mohebkhah and J. Tazav, "Equivalent viscous damping for linked column steel frame structures," *Journal of Constructional Steel Research*, vol. 179, p. 106506, 2021/04/01/ 2021, doi: <https://doi.org/10.1016/j.jcsr.2020.106506>.
- [18] A. Ezoddin, A. Kheyroddin, and M. Gholhaki, "Experimental and numerical investigation on the seismic retrofit of RC frames with linked column frame systems," *Journal of Building Engineering*, vol. 44, p. 102956, 2021/12/01/ 2021, doi: <https://doi.org/10.1016/j.jobe.2021.102956>.
- [19] M. Gholhaki, B. Eshrafi, M. Gorji Azandariani, and O. Rezaifar, "Seismic assessment of linked-column frame structural system considering soil-structure effects," *Structures*, vol. 33, pp. 2264-2272, 2021/10/01/ 2021, doi: <https://doi.org/10.1016/j.istruc.2021.06.005>.
- [20] E. Maroofi, M. R. Mansoori, A. S. Moghadam, and A. Aziminejad, "Evaluation of rocking motion on the seismic performance of a linked column frame system," *Proceedings of the Institution of Civil Engineers - Structures and Buildings*, vol. 0, no. 0, pp. 1-15, doi: 10.1680/jstbu.20.00287.
- [21] D. Loulelis, G. Hatzigeorgiou, and D. Beskos, "Moment resisting steel frames under repeated earthquakes," *Earthquake and Structures*, vol. 3, no. 3-4, pp. 231-248, 2012.
- [22] G. Abdollahzadeh, A. Mohammadgholipour, and E. Omranian, "Seismic Evaluation of Steel Moment Frames Under Mainshock-Aftershock Sequence Designed by Elastic Design and PBPD Methods," *Journal of Earthquake Engineering*, vol. 23, no. 10, pp. 1605-1628, 2019/11/26 2019, doi: 10.1080/13632469.2017.1387198.
- 2020, doi: <https://doi.org/10.1016/j.jobe.2020.101228>.
- [5] ASCE7, *Minimum Design Loads and Associated Criteria for Buildings and Other Structures*, ASCE/SEI 7-16. VA, U.S.A.: American Society of Civil Engineers, 2016.
- [6] A. Kuşyilmaz and C. Topkaya, "Displacement amplification factors for steel eccentrically braced frames," *Earthquake Engineering & Structural Dynamics*, vol. 44, no. 2, pp. 167-184, 2015, doi: <https://doi.org/10.1002/eqe.2463>.
- [7] M. Mahmoudi and M. Zaree, "Evaluating the displacement amplification factors of concentrically braced steel frames," *International Journal of Advanced Structural Engineering*, vol. 5, no. 1, p. 13, 2013/04/26 2013, doi: 10.1186/2008-6695-5-13.
- [8] M. Sohrabi-Haghigat and P. Ashtari, "Evaluation of Seismic Performance Factors for High-rise Steel Structures with Diagrid System," *KSCE Journal of Civil Engineering*, vol. 23, no. 11, pp. 4718-4726, 2019/11/01 2019, doi: 10.1007/s12205-019-1546-4.
- [9] FEMA-P695, "Quantification of building seismic performance factors, FEMA P695 ATC-63 Project Report," US Department of Homeland Security, FEMA, Washington, DC, 2009.
- [10] M. Malakoutian, J. W. Berman, P. Dusicka, and A. Lopes, "Quantification of Linked Column Frame Seismic Performance Factors for Use in Seismic Design," *Journal of Earthquake Engineering*, vol. 20, no. 4, pp. 535-558, 2016/05/18 2016, doi: 10.1080/13632469.2015.1104750.
- [11] P. Dusicka and R. Iwai, "Development of Linked Column Frame System for Seismic Lateral Loads," in *Structural Engineering Research Frontiers*, 2007, pp. 1-13.
- [12] P. Dusicka and G. Lewis, "Investigation of replaceable sacrificial steel links," in *Proceedings of the 9th US National and 10th Canadian Conference on Earthquake Engineering*, 2010, vol. 1659.
- [13] M. Malakoutian, J. W. Berman, and P. Dusicka, "Seismic response evaluation of the linked column frame system," *Earthquake Engineering & Structural Dynamics*, vol. 42, no. 6, pp. 795-814, 2013, doi: <https://doi.org/10.1002/eqe.2245>.
- [14] A. Lopes, P. Dusicka, and J. Berman, "Linked column frame steel system performance validation using hybrid simulation," in *Proc.*

- [29] J. Liu and A. Astaneh-Asl, "Moment-Rotation Parameters for Composite Shear Tab Connections," *Journal of Structural Engineering*, vol. 130, no. 9, pp. 1371-1380, 2004, doi: [10.1061/\(ASCE\)0733-9445\(2004\)130:9\(1371\).](https://doi.org/10.1061/(ASCE)0733-9445(2004)130:9(1371).)
- [30] J. Liu and A. Astaneh-Asl, "Cyclic Testing of Simple Connections Including Effects of Slab," *Journal of Structural Engineering*, vol. 126, no. 1, pp. 32-39, 2000, doi: [10.1061/\(ASCE\)0733-9445\(2000\)126:1\(32\).](https://doi.org/10.1061/(ASCE)0733-9445(2000)126:1(32).)
- [31] G. Ghodrati Amiri and F. Manouchehri Dana, "Introduction of the most suitable parameter for selection of critical earthquake," *Computers & Structures*, vol. 83, no. 8, pp. 613-626, 2005/03/01/ 2005, doi: <https://doi.org/10.1016/j.compstruc.2004.10.010>.
- [32] G. Ghodrati Amiri and E. Rajabi, "Damage evaluation of reinforced concrete and steel frames under critical successive scenarios," *International Journal of Steel Structures*, vol. 17, no. 4, pp. 1495-1514, 2017/12/01 2017, doi: [10.1007/s13296-017-1218-5](https://doi.org/10.1007/s13296-017-1218-5).
- [23] S. Veismoradi, A. Cheraghi, and E. Darvishan, "Probabilistic mainshock-aftershock collapse risk assessment of buckling restrained braced frames," *Soil Dynamics and Earthquake Engineering*, vol. 115, pp. 205-216, 2018/12/01/ 2018, doi: <https://doi.org/10.1016/j.soildyn.2018.08.029>.
- [24] J. Ruiz-García, E. Bojorquez, and E. Corona, "Seismic behavior of steel eccentrically braced frames under soft-soil seismic sequences," *Soil Dynamics and Earthquake Engineering*, vol. 115, pp. 119-128, 2018/12/01/ 2018, doi: <https://doi.org/10.1016/j.soildyn.2018.08.018>.
- [25] V. Mohsenian, R. Filizadeh, I. Hajirasouliha, and R. Garcia, "Seismic performance assessment of eccentrically braced steel frames with energy-absorbing links under sequential earthquakes," *Journal of Building Engineering*, vol. 33, p. 101576, 2021/01/01/ 2021, doi: <https://doi.org/10.1016/j.jobe.2020.101576>.
- [26] *Iranian Code of Practice for Seismic Resistance Design of Buildings, Standard No. 2800, 4th edition*, BHRC, 2016.
- [27] C. M. Uang, "Establishing R (or Rw) and Cd Factors for Building Seismic Provisions," *Journal of Structural Engineering*, vol. 117, no. 1, pp. 19-28, 1991, doi: [10.1061/\(ASCE\)0733-9445\(1991\)117:1\(19\).](https://doi.org/10.1061/(ASCE)0733-9445(1991)117:1(19).)
- [28] E. A. Sumner and T. M. Murray, "Behavior of Extended End-Plate Moment Connections Subject to Cyclic Loading," *Journal of Structural Engineering*, vol. 128, no. 4, pp. 501-508, 2002, doi: [10.1061/\(ASCE\)0733-9445\(2002\)128:4\(501\).](https://doi.org/10.1061/(ASCE)0733-9445(2002)128:4(501).)

# Effect of Seismic Sequence on the Deflection Amplification Factor for Steel Buildings with "Linked Columns Frame" System

**Yaser Golestani<sup>1</sup>, Elham Rajabi<sup>2\*</sup> and Reza Rajabi Soheyli<sup>3</sup>**

1 MSc Student, Department of Civil Engineering, Tafresh University

2 Assistant Professor, Department of Civil Engineering, Tafresh University

3. MSc Student, Department of Civil Engineering, Tafresh University

\*rajabi@tafreshu.ac.ir

## Abstract

Most seismic hazard assessments are usually performed only with consideration of the initial shock in the technical literature of structural and earthquake engineering while the magnitude of aftershocks that occur after the main earthquake, may be enough strong to cause a lot of damage to the structures. Most aftershocks increase the structural damage caused by the main earthquake because of cumulative damage and increased vulnerability may seriously threaten the safety of residents. The structures are designed for solely a single earthquake – design earthquake – based on the existing seismic design codes. For example, these codes did not provide specific values for the actual relative displacement under successive earthquakes to assess the structural damages. Therefore, considering the effect of multiple shocks consists of foreshock and main shock or main shock and aftershock seems necessary. Moreover, the construction of a new building is not economic and requires a lot of time, which is not easily available to many communities. Hence, the design of structures considering the some capabilities such as replacement of damaged elements can improve significantly the performance of structures after severe successive earthquakes. However, most of the proposed structural systems are not generally repairable while replacing several damaged members under the earthquake can be very economic and applicable. The linked column frame (LCF) as a relatively modern lateral load resisting system, is a type of dual systems; the recent emergence of this structural system has reinforced the need for multiple seismic studies. For this reason, LCF is selected in this paper and the deflection amplification factor ( $C_d$ ) for this system is evaluated under critical earthquakes with seismic sequences. This coefficient is calculated based on the linear lateral displacements obtained from linear static analysis and actual values from nonlinear analysis. In this regard, 18 steel buildings equipped by the linked column frame as lateral load resisting system, with 3, 7, and 11 stories are designed based on the Iranian earthquake design code (Standard No. 2800, 4<sup>th</sup> version – 2014). These buildings are implemented in *OpenSees* software and have been subjected to linear static, linear, and nonlinear dynamic analyses using critical earthquakes with/ without seismic sequence phenomenon to calculate the deflection amplification factor ( $C_d$ ) and  $C_d/R$  for each of them based on Uang method. In order to better investigation of the mentioned coefficient, the effect of various parameters such as the link beams length as well as the flexural or shear behavior of the links beams has been considered. Thus, after the evaluations, the findings indicate an slight increase in mean values of  $C_d$  and  $C_d/R$ , for the linked column frame exposed to successive earthquakes. However, the increase of this coefficient has been more in short-frame frames. So that the most increase which has been related to the 3-story frame with shear link behavior (2 m), is about 11 percentage under the successive earthquakes. Also, the average results which have been obtained from consecutive earthquakes reveal that the proposed values for  $C_d$  coefficient in the technical literature are not sufficient, and larger values have been demanded.

**Keywords:** Linked Columns Frame (LCF), Deflection Amplification Factor ( $C_d$ ), Nonlinear Dynamic Analysis, Dynamic Analysis, Critical Seismic Sequences